

Appendix

Brief Review of Electrostatic

Quantum Chemistry & Molecular Modeling Group

Facultad de Ciencias Químicas, Departamento de Físico-Química,
Universidad de Concepción, Concepción, Chile.

1 Carga eléctrica y ley de Coulomb

La carga eléctrica es una propiedad fundamental y característica de las partículas elementales. En química se parte de hecho de considerar que toda la materia está formada de protones y neutrones en los núcleos atómicos, y electrones moviéndose alrededor de éstos. En la Tabla siguiente se muestran los valores de masa y carga de tales partículas.

Partícula	Masa / kg	Carga / C
electrón	$9.109\,383 \times 10^{-31}$	$-1.602\,176 \times 10^{-19}$
protón	$1.672\,622 \times 10^{-27}$	$+1.602\,176 \times 10^{-19}$
neutrón	$1.674\,927 \times 10^{-27}$	0

La unidad de carga en el Sistema Internacional es el Coulomb. Es costumbre denotar por e el módulo de la carga del electrón (no confundir con la base de Euler de logaritmos naturales).

Cuando dos cargas q y q' interactúan, se establece una fuerza entre ellas que es directamente proporcional al producto de las cargas e inversamente proporcional al cuadrado de la distancia que las separa, lo cual define la *Ley de Coulomb*:

$$F_i = \frac{q q'}{4\pi\epsilon_0} \frac{x_i - x'_i}{|\mathbf{x} - \mathbf{x}'|^3}, \quad (1)$$

donde ϵ_0 es la permitividad del vacío. Los vectores $\mathbf{x} = (x_1, x_2, x_3)$ y $\mathbf{x}' = (x'_1, x'_2, x'_3)$ son el vector posición de la carga q y q' , respectivamente, con respecto a un sistema inercial de coordenadas (ver figura B.1). En el Sistema Internacional de unidades se cumple que

$$\frac{1}{4\pi\epsilon_0} = c^2 \times 10^{-7} \text{ N m C}^{-2}. \quad (2)$$

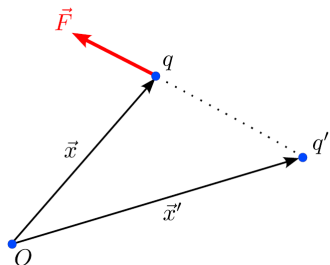


Figura B.1: Fuerza resultante para la interacción entre dos cargas q y q' .

Dedido al carácter vectorial de la Ley de Coulomb, la fuerza resultante sobre una carga q , ubicada en la posición $\mathbf{x} = (x_1, x_2, x_3)$, producto de la interacción de dicha carga con una distribución de cargas $q^{(\alpha)}$, $\alpha = 1, 2, \dots, N$, ubicadas en posiciones $\mathbf{x}^{(\alpha)} = (x_1^{(\alpha)}, x_2^{(\alpha)}, x_3^{(\alpha)})$ es

$$F_i = \frac{q}{4\pi\epsilon_0} \sum_{\alpha=1}^N q^{(\alpha)} \frac{x_i - x_i^{(\alpha)}}{|\mathbf{x} - \mathbf{x}^{(\alpha)}|^3}. \quad (3)$$

Por otro lado, para una distribución continua de cargas podemos considerar un elemento de volumen dV' conteniendo una carga $dq' = \rho(x')dV'$, donde $\rho(x')$ es la densidad (volumétrica) de carga (por unidad de volumen). Por tanto, podemos generalizar la fórmula anterior y definir la fuerza total ejercida por una distribución continua de carga sobre una carga (puntual) de prueba q como

$$F_i = \int_V dF_i = \frac{q}{4\pi\epsilon_0} \int_V \rho(\mathbf{x}') \frac{x_i - x'_i}{|\mathbf{x} - \mathbf{x}'|^3} dV'. \quad (4)$$

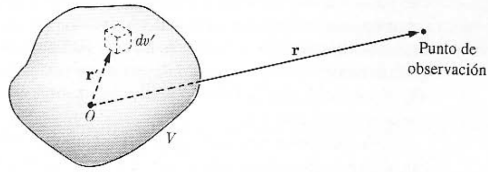


Figura B.2: Fuerza resultante de una distribución de carga sobre una carga puntual q .

2 Campo eléctrico

El campo eléctrico $E_i(\mathbf{x})$ en un punto x_i se define como la fuerza por unidad de carga sobre una carga de prueba (muy pequeña en tamaño y magnitud) q situada en la posición x_i , es decir

$$E_i(\mathbf{x}) = \lim_{q \rightarrow 0} \frac{F_i}{q}. \quad (5)$$

El campo eléctrico es un campo vectorial, es decir a cada punto del espacio le asigna un vector. Nótese que el proceso de límite $q \rightarrow 0$ es necesario puesto que el uso de una carga q de forma y magnitud arbitraria en general modificaría la distribución de cargas original. Por tanto, usando (4) obtenemos el campo eléctrico generado por una distribución de carga arbitraria:

$$E_i(\mathbf{x}) = \frac{1}{4\pi\epsilon_0} \int_V \rho(\mathbf{x}') \frac{x_i - x'_i}{|\mathbf{x} - \mathbf{x}'|^3} dV'. \quad (6)$$

En particular, cuando se trate de una distribución discreta se usa la siguiente definición de densidad de carga

$$\rho(\mathbf{x}) = \sum_{\alpha=1}^N q^{(\alpha)} \delta^{(3)}(\mathbf{x} - \mathbf{x}^{(\alpha)}), \quad (7)$$

donde $\delta^{(3)}(\mathbf{x} - \mathbf{x}^{(\alpha)})$ es la delta de Dirac en tres dimensiones.

Una forma de visualizar el campo eléctrico es construyendo un mapa vectorial. Sin embargo, es común usar una gráfica de *líneas de campo*. Cada línea de campo puede construirse a partir de una parametrización de la forma $x_i = x_i(\lambda)$, donde λ es un parámetro real. Las líneas de campo quedan definidas como aquellas curvas cuyos vectores tangentes en cada punto son paralelos al vector de campo eléctrico. Esto equivale a la condición

$$\frac{dx_i}{d\lambda} = E_i(\mathbf{x}(\lambda)). \quad (8)$$

En el caso de configuraciones de carga en el plano- xy , podemos escribir la ecuación diferencial que define las líneas de campo.

$$\frac{dy}{dx} = \frac{E_y}{E_x} \quad (9)$$

3 Potencial eléctrico

Teniendo en cuenta que

$$\frac{x_i - x'_i}{|\mathbf{x} - \mathbf{x}'|^3} = -\partial_i \frac{1}{|\mathbf{x} - \mathbf{x}'|}, \quad (10)$$

la fórmula de campo eléctrico puede reescribirse de la siguiente forma

$$E_i(\mathbf{x}) = -\frac{1}{4\pi\epsilon_0} \int_V \rho(\mathbf{x}') \partial_i \frac{1}{|\mathbf{x} - \mathbf{x}'|} dV'. \quad (11)$$

Es decir,

$$E_i(\mathbf{x}) = -\partial_i \phi(\mathbf{x}), \quad (12)$$

o equivalentemente

$$\mathbf{E}(\mathbf{x}) = -\nabla \phi(\mathbf{x}), \quad (13)$$

donde $\phi(\mathbf{x})$ recibe el nombre de *potencial eléctrico* y está definido por

$$\phi(\mathbf{x}) = \frac{1}{4\pi\epsilon_0} \int_V \frac{\rho(\mathbf{x}')}{|\mathbf{x} - \mathbf{x}'|} dV' + \text{constante}. \quad (14)$$

Nótese que el potencial eléctrico es un campo escalar sobre \mathbb{R}^3 . Por otro lado, a partir de (12), es directo mostrar que todo campo electrostático es irrotacional

$$\nabla \times \mathbf{E} = \mathbf{0}. \quad (15)$$

En efecto,

$$(\nabla \times \mathbf{E})_i = \epsilon_{ijk} \partial_j E_k = -\epsilon_{ijk} \partial_j \partial_k \phi = -\epsilon_{ijk} \partial_k \partial_j \phi = +\epsilon_{ikj} \partial_k \partial_j \phi = -\epsilon_{ikj} \partial_k E_j = -(\nabla \times \mathbf{E})_i, \quad (16)$$

donde hemos usado la definición del pseudo-tensor de Levi-Civita para escribir el producto cruz.

4 Ley de Gauss

Procedamos ahora a calcular la divergencia del campo eléctrico:

$$\nabla \cdot \mathbf{E} = \partial_i E_i \quad (17)$$

$$= \partial_i \left[-\frac{1}{4\pi\epsilon_0} \int_V \rho(\mathbf{x}') \partial_i \frac{1}{|\mathbf{x} - \mathbf{x}'|} dV' \right] \quad (18)$$

$$= -\frac{1}{4\pi\epsilon_0} \int_V \rho(\mathbf{x}') \partial_i \partial_i \frac{1}{|\mathbf{x} - \mathbf{x}'|} dV' \quad (19)$$

$$= -\frac{1}{4\pi\epsilon_0} \int_V \rho(\mathbf{x}') \nabla^2 \frac{1}{|\mathbf{x} - \mathbf{x}'|} dV' \quad (20)$$

Pero, es posible mostrar que

$$\nabla^2 \frac{1}{|\mathbf{x} - \mathbf{x}'|} = -4\pi\delta^{(3)}(\mathbf{x} - \mathbf{x}'). \quad (21)$$

Luego,

$$\nabla \cdot \mathbf{E} = -\frac{1}{4\pi\epsilon_0} \int_V \rho(\mathbf{x}') (-4\pi) \delta^{(3)}(\mathbf{x} - \mathbf{x}') dV' \quad (22)$$

Por lo tanto, llegamos al importante resultado conocido como *Ley de Gauss* (en su forma diferencial):

$$\nabla \cdot \mathbf{E} = \frac{1}{\epsilon_0} \rho(\mathbf{x}). \quad (23)$$

Por otro lado, usando el teorema de la divergencia (de Gauss) para un volumen V arbitrario con superficie $S = \partial V$, obtenemos

$$\int_V \partial_i E_i dV' = \frac{1}{\epsilon_0} \int_V \rho(\mathbf{x}') dV' = \frac{q_V}{\epsilon_0}.$$

Es decir, obtenemos la forma integral de la Ley de Gauss:

$$\oint_S E_i dS_i = \frac{q_V}{\epsilon_0}, \quad (24)$$

o equivalentemente

$$\oint_S \mathbf{E} \cdot d\mathbf{S} = \frac{q_V}{\epsilon_0}. \quad (25)$$

La ecuación (23) nos muestra que el campo eléctrico se origina por una *fente*, definida por la distribución de carga. Ahora, usando el concepto de potencial eléctrico, podemos escribir la Ley de Gauss en la forma siguiente:

$$\partial_i E_i = -\partial_i \partial_i \phi = \frac{1}{\epsilon_0} \rho(\mathbf{x}). \quad (26)$$

Es decir, obtenemos la *ecuación de Poisson*:

$$\nabla^2 \phi = -\frac{\rho}{\epsilon_0}. \quad (27)$$

En particular, el potencial electrostático en una región libre de cargas satisface la *ecuación de Laplace*:

$$\nabla^2 \phi = 0. \quad (28)$$

5 Energía potencial eléctrica

La fuerza electrostática es conservativa ya que puede derivarse de un potencial:

$$F_i = qE_i = -q \partial_i \phi. \quad (29)$$

Por tanto, se define la energía potencial eléctrica de una carga q ubicada en un punto \mathbf{x} con campo eléctrico (externo) descrito por el potencial $\phi(\mathbf{x})$ por

$$U(\mathbf{x}) = q \phi(\mathbf{x}), \quad (30)$$

de modo que

$$F_i(\mathbf{x}) = -(\partial_i U)(\mathbf{x}). \quad (31)$$

Para ilustrar conceptos, calculemos el trabajo realizado por un campo eléctrico sobre una carga q al desplazarse ésta desde la posición A a la posición B :

$$W_{A \rightarrow B} = \int_A^B F_i dx_i = - \int_A^B \partial_i U dx_i = - U|_A^B = -\Delta U = -q\Delta\phi = -q(\phi_B - \phi_A). \quad (32)$$

Consideremos ahora el problema de hallar la energía potencial total para un conjunto de N cargas puntuales, pero tomando en cuenta el campo que ellas mismas generan. De este modo, considerando todas las interacciones, pero restando aquellas que por simetría son equivalentes, es decir, $U^{(\alpha\beta)} = U^{(\beta\alpha)}$, obtenemos:

$$U = \frac{1}{2} \sum_{\alpha=1}^N q^{(\alpha)} \phi(\mathbf{x}^{(\alpha)}). \quad (33)$$

En forma análoga, para una distribución continua de cargas se obtiene:

$$U = \frac{1}{2} \int \rho(\mathbf{x}) \phi(\mathbf{x}) dV. \quad (34)$$

6 Expansión multipolar

Para puntos muy alejados de una distribución arbitraria de carga $\rho(\mathbf{x})$ es posible calcular campo potencial y campo eléctrico en forma aproximada. En efecto, si $|\mathbf{x}| \gg |\mathbf{x}'|$ (ver figura B.3) entonces podemos expandir en serie de potencias con respecto al vector \mathbf{x}' :

$$\frac{1}{|\mathbf{x} - \mathbf{x}'|} = \frac{1}{|\mathbf{x}|} + \frac{(-1)^1}{1!} x'_i \partial_i \left. \frac{1}{|\mathbf{x} - \mathbf{x}'|} \right|_{x'_i=0} + \frac{(-1)^2}{2!} x'_i x'_j \partial_i \partial_j \left. \frac{1}{|\mathbf{x} - \mathbf{x}'|} \right|_{x'_i=0} + \dots \quad (35)$$

$$= \frac{1}{|\mathbf{x}|} + \frac{(-1)^1}{1!} x'_i \partial_i \frac{1}{|\mathbf{x}|} + \frac{(-1)^2}{2!} x'_i x'_j \partial_i \partial_j \frac{1}{|\mathbf{x}|} + \dots \quad (36)$$

$$= \frac{1}{r} + \frac{(-1)^1}{1!} x'_i \partial_i \frac{1}{r} + \frac{(-1)^2}{2!} x'_i x'_j \partial_i \partial_j \frac{1}{r} + \dots \quad (37)$$

$$= \sum_{n=0}^{\infty} \frac{(-1)^n}{n!} x'_{i_1} \dots x'_{i_n} \partial_{i_1} \dots \partial_{i_n} \frac{1}{r}. \quad (38)$$

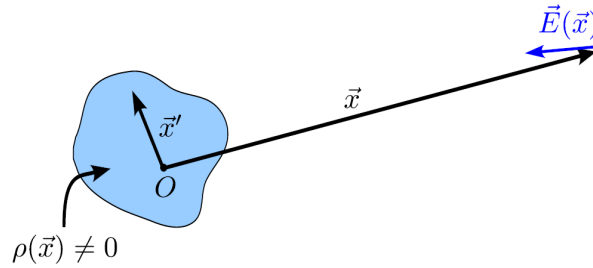


Figura B.3: Expansión multipolar.

Pero, evaluando cada término

$$\partial_i \frac{1}{r} = -\frac{x_i}{r^2}, \quad (39)$$

$$\partial_i \partial_j \frac{1}{r} = \frac{3x_i x_j}{r^5} - \frac{\delta_{ij}}{r^3}, \quad (40)$$

$$\partial_i \partial_j \partial_k \frac{1}{r} = \frac{3(x_i \delta_{jk} + x_j \delta_{ki} + x_k \delta_{ij})}{r^5} - \frac{15x_i x_j x_k}{r^7}, \quad (41)$$

\vdots

Luego,

$$\frac{1}{|\mathbf{x} - \mathbf{x}'|} = \frac{1}{r} + \frac{x_i x'_i}{r^3} + \frac{1}{2} x'_i x'_j \left(\frac{3x_i x_j}{r^5} - \frac{\delta_{ij}}{r^3} \right) + \mathcal{O}(x_i'^3) \quad (42)$$

Usando (42) procedemos a obtener una expresión para el potencial

$$\phi(\mathbf{x}) = \frac{1}{4\pi\epsilon_0} \int_V \frac{\rho(\mathbf{x}')}{|\mathbf{x} - \mathbf{x}'|} dV', \quad (43)$$

$$= \frac{1}{4\pi\epsilon_0} \int_V \rho(\mathbf{x}') \sum_{n=0}^{\infty} \frac{(-1)^n}{n!} x'_{i_1} \cdots x'_{i_n} \partial_{i_1} \cdots \partial_{i_n} \frac{1}{r} dV', \quad (44)$$

$$= \frac{1}{4\pi\epsilon_0} \sum_{n=0}^{\infty} \frac{(-1)^n}{n!} \left[\int_V \rho(\mathbf{x}') x'_{i_1} \cdots x'_{i_n} dV' \right] \partial_{i_1} \cdots \partial_{i_n} \frac{1}{r}. \quad (45)$$

Definiendo el momento multipolar de orden n como el tensor de rango n dado por

$$Q_{i_1 \cdots i_n} = \int_V \rho(\mathbf{x}) x_{i_1} \cdots x_{i_n} dV, \quad (46)$$

obtenemos la siguiente fórmula para el potencial:

$$\phi(\mathbf{x}) = \frac{1}{4\pi\epsilon_0} \sum_{n=0}^{\infty} \frac{(-1)^n}{n!} Q_{i_1 \cdots i_n} \partial_{i_1} \cdots \partial_{i_n} \frac{1}{r}. \quad (47)$$

De este modo, el potencial electrostático se descompone en una superposición de términos multipolares:

$$\phi(\mathbf{x}) = \sum_{n=0}^{\infty} \phi^{(n)}(\mathbf{x}), \quad (48)$$

donde

$$\phi^{(n)}(\mathbf{x}) = \frac{1}{4\pi\epsilon_0} \frac{(-1)^n}{n!} Q_{i_1 \cdots i_n} \partial_{i_1} \cdots \partial_{i_n} \frac{1}{r}. \quad (49)$$

Examinemos con más detalle los primeros términos de la expansión (48). El término *monopolar* es

$$\phi^{(0)}(\mathbf{x}) = \frac{1}{4\pi\epsilon_0} \frac{Q}{r}, \quad (50)$$

donde el *momento monopolar* es la carga total del sistema:

$$Q = \int \rho(\mathbf{x}) dV. \quad (51)$$

El término dipolar es

$$\phi^{(1)}(\mathbf{x}) = \frac{1}{4\pi\epsilon_0} \frac{x_i p_i}{r^3}, \quad (52)$$

donde $p_i = Q_i$ es el *momento dipolar* del sistema:

$$p_i = \int x_i \rho(\mathbf{x}) dV. \quad (53)$$

El término cuadrupolar es

$$\phi^{(2)}(\mathbf{x}) = \frac{1}{4\pi\epsilon_0} \frac{1}{2} Q_{ij} \left(\frac{3x_i x_j}{r^5} - \frac{\delta_{ij}}{r^3} \right), \quad (54)$$

donde Q_{ij} es el *momento cuadrupolar* del sistema:

$$Q_{ij} = \int x_i x_j \rho(\mathbf{x}) dV. \quad (55)$$

Por tanto, la expansión multipolar del potencial eléctrico adopta la forma:

$$\phi(\mathbf{x}) = \frac{1}{4\pi\epsilon_0} \frac{Q}{r} + \frac{1}{4\pi\epsilon_0} \frac{x_i p_i}{r^3} + \frac{1}{4\pi\epsilon_0} \frac{1}{2} Q_{ij} \left(\frac{3x_i x_j}{r^5} - \frac{\delta_{ij}}{r^3} \right) + \mathcal{O}(r^{-4}) \quad (56)$$

A partir del potencial eléctrico, el campo eléctrico se obtiene mediante derivación

$$\begin{aligned} E_i(\mathbf{x}) &= \frac{Q}{4\pi\epsilon_0} \frac{x_i}{r^3} + \frac{1}{4\pi\epsilon_0} \frac{(3x_i x_j p_j - r^2 p_i)}{r^5} \\ &\quad - \frac{1}{4\pi\epsilon_0} \frac{1}{2} Q_{jk} \left[\frac{3(x_i \delta_{jk} + x_j \delta_{ki} + x_k \delta_{ij})}{r^5} - \frac{15x_i x_j x_k}{r^7} \right] + \mathcal{O}(r^{-5}) \end{aligned} \quad (57)$$

De la definición de los momentos multipolares se deduce que $Q_{i_1 \dots i_n}$ es un tensor simétrico de rango n respecto a transformaciones ortogonales de coordenadas. Luego, $Q_{i_1 \dots i_n}$ posee $(n+1)(n+2)/2$ componentes linealmente interpendientes. En el caso del momento cuadrupolar, de las nueve originales tiene 6 componentes linealmente independientes. Sin embargo, como en la expresión del potencial el tensor cuadrupolar está multiplicado por $(3x_i x_j / r^5 - \delta_{ij} / r^3)$, aparece una restricción extra. Dado a que la contracción $\delta_{ij} (3x_i x_j / r^5 - \delta_{ij} / r^3)$ se anula idénticamente, es posible adicionar al cuadrupolo un término proporcional a δ_{ij} sin que se altere la expansión multipolar. De este modo,

$$\bar{Q}_{ij} = Q_{ij} + \lambda \delta_{ij} \quad (58)$$

es una nueva definición del tensor cuadrupolar, totalmente compatible con la expansión multipolar (no se pierde información). La forma más usual de elegir λ es logrando un tensor de traza nula

$$\bar{Q}_{ii} = 0, \quad (59)$$

lo cual conduce a la definición

$$\bar{Q}_{ij} = Q_{ij} - \frac{1}{3} Q_{kk} \delta_{ij}, \quad (60)$$

o equivalentemente

$$\bar{Q}_{ij} = \int (x_i x_j - \frac{1}{3} x_k x_k \delta_{ij}) \rho(\mathbf{x}) dV. \quad (61)$$

Finalmente, la energía potencial queda expresada por la fórmula

$$U = Q\phi(\mathbf{x}) - p_i E_i(\mathbf{x}) - \frac{1}{2} Q_{ij} \partial_i E_j(\mathbf{x}) + \dots \quad (62)$$